

4 Algoritmo

O algoritmo proposto neste trabalho está baseado na teoria da análise de sensibilidade já exposta, e nas respectivas técnicas de Gomory e Hu e de Gusfield, quais sejam, contração e construção de árvores. Utilizar as informações de uma árvore de cortes existente para computar a próxima é a idéia central do algoritmo, permitindo, assim, que os fluxos máximos/cortes mínimos sejam aplicados sempre a redes menores que a original.

Para calcular o fluxo máximo entre todos os pares de nós de uma rede $G = (V, E)$ não direcionada e com capacidades nas arestas, o algoritmo inicia gerando uma "espécie" de solução inicial, técnica utilizada por muitas heurísticas. No caso, a solução inicial será uma árvore geradora (*spanning tree*) T de G , ou seja, um subgrafo de G contendo todos os seus vértices e que, também, é uma árvore. Esta poderá ser qualquer árvore geradora de G , não necessitando ser mínima ou máxima.

Chama-se o grafo T de G_0 . Sobre sua árvore de cortes (cut tree) CT_0 , como G_0 é uma árvore, ou seja, entre qualquer par de nós há somente um único caminho, CT_0 é o próprio grafo G_0 .

Considera-se E' o conjunto das arestas contidas em G , mas não contidas em G_0 . É adicionada, então, uma aresta $e = (i, j)$ pertencente a E' ao grafo G_0 , transformando-o em G_1 .

Para o cálculo de CT_1 lançamos mão dos seguintes lema e teorema desta dissertação:

- Lema 3: existe uma CT_1 idêntica a CT_0 exceto pelo caminho $i-j$.
- Teorema 4: são necessárias apenas $(P - 1)$ aplicações do algoritmo de fluxo máximo/corte mínimo, sendo P é o número de vértices no caminho $i-j$.

De acordo com a demonstração do teorema 4, que se utiliza do método de Gomory e Hu, as $(P - 1)$ execuções do algoritmo de fluxo máximo/corte mínimo poderão ser aplicadas a um grafo contraído de G_1 .

De posse das extremidades i e j da aresta adicionada, o algoritmo identifica o caminho i - j em CT_0 . A seguir, mapeia todas as subárvores T_a^b de CT_0 . Cada subárvore será contraída a somente um vértice no grafo em que será aplicado o algoritmo de fluxo máximo. Identificado o caminho e mapeadas as subárvores, gera-se, então, utilizando as técnicas de contração do algoritmo de Gomory e Hu, o grafo contraído de G_1 .

Por fim, o algoritmo, fazendo uso da rotina algorítmica de Gusfield, calcula o fluxo máximo entre todos os pares de nós pertencentes ao caminho i - j de CT_0 . Vale ressaltar que o algoritmo de fluxo máximo é sempre aplicado no grafo corrente contraído, do que se obtém as duas informações seguintes: o valor do fluxo máximo entre o par de nós e o lado em que se encontra cada um dos nós do caminho i - j em relação ao corte mínimo.

A árvore de cortes, resultante do algoritmo de Gusfield, substituirá, então, o caminho i - j em CT_0 . Desta forma, obtém-se CT_1 .

Em um laço **para**, estes procedimentos são executados até que todas as arestas de E tenham sido adicionadas. Com as adições, serão gerados G_2, G_3, \dots, G_y e suas respectivas árvores de corte CT_2, CT_3, \dots, CT_y , onde $y = (m - n + 1)$ sendo m o número de arestas e n o número de nós do grafo G . O valor de y é simples de ser encontrado visto que o número de arestas de G_0 é sempre $n - 1$. Note que apenas uma aresta é adicionada a cada iteração.

Ao término do laço, a árvore de cortes remanescente é CT_y , ou, apenas, CT , que é, portanto, a resposta ou a solução final do problema. A figura 4.1 exhibe um pseudocódigo do algoritmo (A1).

procedimento A1 (G);

- 1 $T \leftarrow$ crie uma árvore geradora (*spanning tree*) do grafo G ;
 - 2 $G_0 = T$;
 - 3 $CT_0 = G_0$;
 - 4 $E' \leftarrow$ conjunto de arestas que estão em G mas que não estão em G_0 ;
 - 5 **para** $e_k \in E'$ onde $k = 1, \dots, m - n + 1$ **faça**
 - 6 Adicione e_k ao grafo G_{k-1} criando G_k ;
 - 7 Identifique caminho i - j em CT_{k-1} ;
 - 8 Mapeie subárvores T_a^b em CT_{k-1} ;
 - 9 Gere grafo contraído de G_k ;
 - 10 Calcule, com algoritmo de Gusfield, árvore de cortes dos nós do caminho i - j no grafo contraído;
 - 11 Substitua caminho i - j pela árvore de cortes em CT_{k-1} , gerando CT_k ;
 - 12 **finalize para**
 - 13 **retorne** CT ;
- finalize** A1;

Figura 4.1: Pseudocódigo do algoritmo A1.

A fim de ilustrar com maior clareza o algoritmo, segue um exemplo de sua aplicação. Seja G a rede da Figura 4.2.

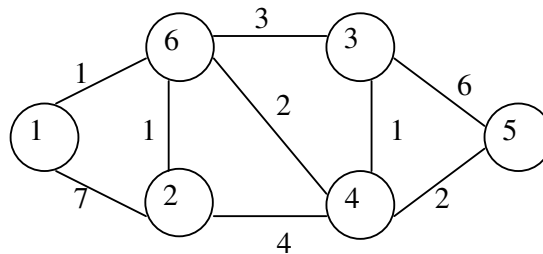


Figura 4.2: Rede G na qual será aplicado o algoritmo A1.

A Figura 4.3 nos mostra o resultado do primeiro passo do algoritmo: a seleção de uma árvore geradora (*spanning tree*) T de G , nomeada G_0 , e que, também, é a sua própria árvore de cortes CT_0 .

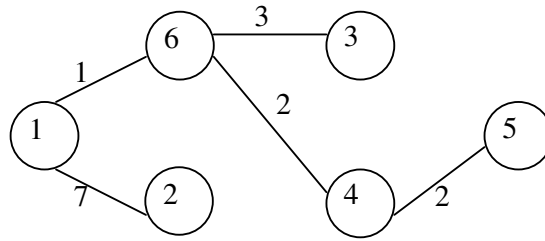


Figura 4.3: Árvore geradora T de G , nomeada G_0 , e que, também, é a sua própria árvore de cortes CT_0 .

Selecionada a árvore geradora, o conjunto E' será composto pelas arestas $E' = \{(2,6), (2,4), (3,4), (3,5)\}$. As mesmas serão adicionadas aos grafos na ordem em que se encontram no conjunto.

Ao adicionarmos a aresta $(2,6)$, linha 6 do pseudocódigo, o algoritmo identifica o caminho $i-j$ (linha 7) em CT_0 como sendo formado pelo nós 2, 1 e 6. Duas subárvores são então mapeadas: a composta pelo nó 3 e a composta pelos nós 4 e 5 (linha 8). Esta última, por ter mais de um nó, será contraída para o cálculo do algoritmo de fluxo máximo. G_1 e G_1 contraído estão ilustrados nas Figuras 4.4 e 4.5, respectivamente.

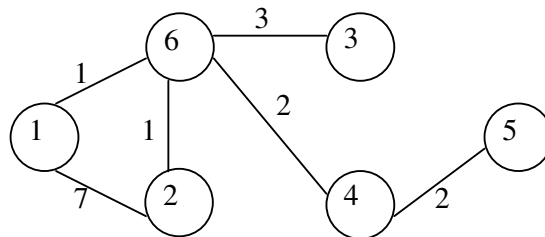


Figura 4.4: Grafo G_1 .

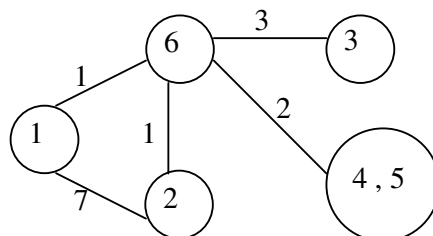


Figura 4.5: G_1 contraído.

Em G_1 contraído serão aplicados dois algoritmos de fluxo máximo, estes necessários para construir, por meio da rotina de Gusfield, a árvore de cortes que substituirá o caminho 2-1-6 em CT_0 . Os nós origem e destino dos algoritmos de fluxo máximo sairão do conjunto $V = \{1, 2, 6\}$. A Figura 4.6 nos mostra o resultado.

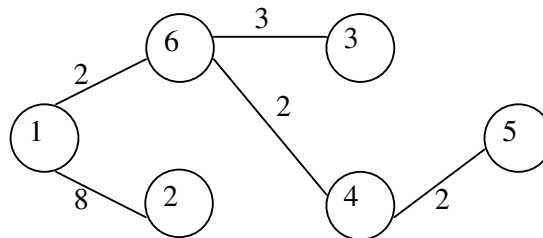


Figura 4.6: CT_1 .

Observe que CT_1 é a árvore de cortes de G_1 . Termina aqui a execução da primeira iteração do laço **para**.

Pela ordem, a próxima aresta a ser adicionada é (2,4). Com suas extremidades, o caminho i - j em CT_1 será 2-1-6-4. Neste caso não haverá contrações possíveis, pois as duas subárvores existentes possuem apenas um nó cada: subárvore nó 3 e subárvore nó 5. Portanto, os fluxos máximos serão computados no próprio G_2 . As Figuras 4.7 e 4.8 ilustram os grafos desta segunda iteração.

A terceira aresta incluída é (3,4), transformando G_2 em G_3 . G_3 , com somente uma aresta a menos, é quase igual ao grafo original G . Nesta iteração: caminho i - j em CT_2 é 3-6-2-4; nenhuma subárvore a ser contraída, logo, não há G_3 contraído; três algoritmos de fluxo máximo computados em G_3 para construção da árvore de cortes entre os nós do caminho i - j ; substituição do caminho i - j pela árvore de cortes calculada por Gusfield. Figuras 4.9 e 4.10 demonstram G_3 e CT_3 respectivamente.

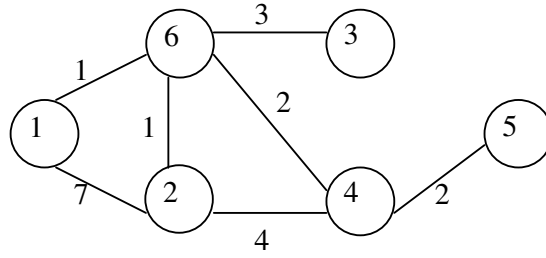


Figura 4.7: G_2 .

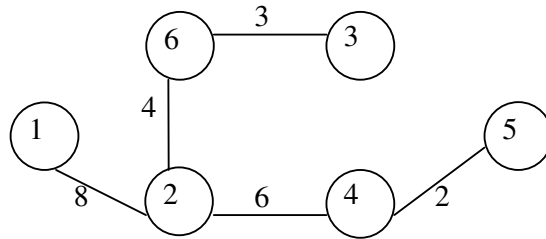


Figura 4.8: CT_2 .

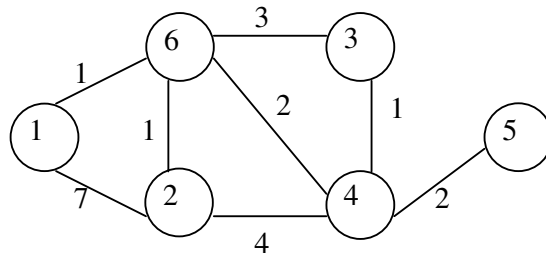


Figura 4.9: G_3 .

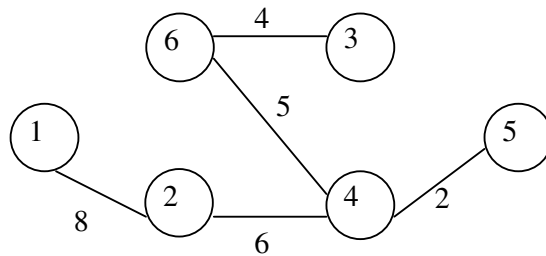


Figura 4.10: CT_3 .

A aresta (3,5) é a quarta e última a ser adicionada. Com ela, G_3 se torna G_4 , ou simplesmente G , o grafo original. As Figuras 4.11, 4.12 e 4.13 ilustram os procedimentos executados nesta iteração. Observa-se que uma contração é possível e, então, os algoritmos de fluxo máximo são computados em G_4 contraído. CT é a solução final do problema.

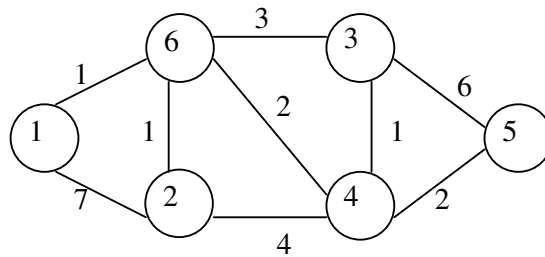


Figura 4.11: G_4 ou G .

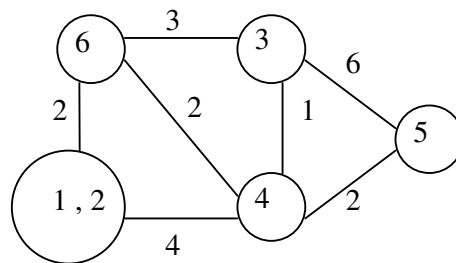


Figura 4.12: G_4 contraído.

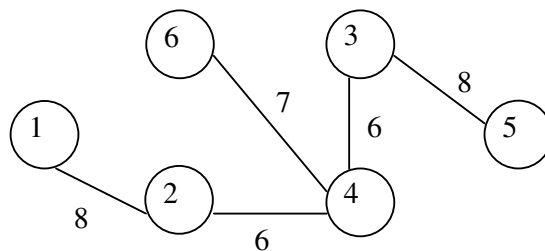


Figura 4.13: CT_4 ou CT . Resultado Final.

4.1 Algoritmo A2

O algoritmo A2 é igual ao anterior A1, a não ser por uma diferença: enquanto que em A1, a cada iteração do laço **para**, é adicionada somente uma aresta, em A2 é possível adicionar várias arestas na mesma iteração.

O teorema 5 demonstra que esta modificação é válida, não alterando o resultado final do algoritmo. Ressalta-se, apenas, a necessidade de todas as extremidades das arestas adicionadas em uma mesma iteração estarem contidas no caminho $i-j$. Desta forma, o algoritmo procederá primeiramente, adicionando uma aresta ao grafo; em seguida, identificando o caminho $i-j$, e por último, procurando novas arestas a adicionar que satisfaçam o requisito acima. A Figura 4.14 é um pseudocódigo do algoritmo A2. A modificação encontra-se na linha 9. Observe que foi necessário incluir o tomador de decisão **se** na linha 6 do algoritmo para não haver duplicidade de arestas nos grafos.

procedimento A2 (G);

- 1 $T \leftarrow$ crie uma árvore geradora (*spanning tree*) do grafo G ;
 - 2 $G_0 = T$;
 - 3 $CT_0 = G_0$;
 - 4 $E' \leftarrow$ conjunto de arestas que estão em G mas que não estão em G_0 ;
 - 5 **para** $e_k \in E'$ onde $k = 1, \dots, m - n + 1$ **faça**
 - 6 **se** e_k não está incluído no grafo G_{k-1}
 - 7 Adicione e_k ao grafo G_{k-1} criando G_k ;
 - 8 Identifique caminho $i-j$ em CT_{k-1} ;
 - 9 Adicione e_w caso suas extremidades estejam contidas
no caminho $i-j$, para $w = k + 1, k + 2, \dots, m - n + 1$;
 - 10 Mapeie subárvores T_a^b em CT_{k-1} ;
 - 11 Gere grafo contraído de G_k ;
 - 12 Calcule, com algoritmo de Gusfield, árvore de cortes dos nós
do caminho $i-j$ no grafo contraído;
 - 13 Substitua caminho $i-j$ pela árvore de cortes em CT_{k-1} gerando CT_k ;
 - 14 **finalize se**
 - 15 **finalize para**
 - 16 **retorne** CT ;
- finalize** A2;

Figura 4.14: Pseudocódigo do algoritmo A2.